

## 3.3 Das eingeschränkte Systemoptimum

Motivation:Vermeide Preis des Inaktive  $\frac{UE}{SO}$ 

Vermeide Unfairness des SO (einzelne bekommen "lange" Puffer)

$$\text{Unfairness einer Pufferzuweisung } f$$

$$= \max_k \frac{\max \{ \tau_p(f) \mid p \in P_k \}}{\text{Faktor } L_k(UE) \text{ im } UE}$$

Bemerkung: unfairness (UE) = 1

unfairness (SO)  $\rightarrow \infty$  (§ 1)

Daher Idee (Jahn, M., Schulz, Stier 05)

Lasse nur Wege  $w$ , deren Faktor bzgl. UE-Faktorennur wenig über  $L_k(f)$  liegen,

$$\text{d.h. } \bar{P}_k^\epsilon = \{ p \in P_k \mid \sum_{a \in p} \tau_a(UE_a) \leq (1+\epsilon) L_k(UE) \}$$

↓

Herleitung des Frank-Wolfe Algorithmus wie bisher, nur mit

Menge  $\bar{P}_k^\epsilon$  statt  $P_k$ ↑ hängt nicht vom aktuellen Fluss  $f$  ab

$$\text{d.h. Nebenbedingungen sind immer } \begin{cases} \sum_{p \in \bar{P}_k^\epsilon} f_p = d_k & k \in C \\ f_p \geq 0 \end{cases}$$

=0 Berechnung der Abstiegsrichtung führt auf die Aufgabe

Berechne pro Commodity  $k \in C$  einen kürzesten Weg bzgl.  $c_a^k(x_a^k)$

aus:  $P_k^E$



Constrained shortest path Problem (CSP)

Gegeben: Digraph  $G = (V, A)$ ,  $s, t \in V$

2 Kantenbewertungen  $\tau_a$  "Zeit"

$l_a$  "Länge", Schranke  $L$

Aufgabe: Berechne kürzesten  $s, t$  Weg  $P$  bzgl.  $\tau_a$

$$\text{mit } \ell(P) = \sum_{a \in P} l_a \leq L$$

Leider Komplexitätsprung: CSP ist (schwach) NP-schwer  
genauerer Studium in § 4

## §4 Constrained shortest paths

## 4.1 Komplexität

4.1 PROPOS. Das CSP ist schwach NP-vollständig

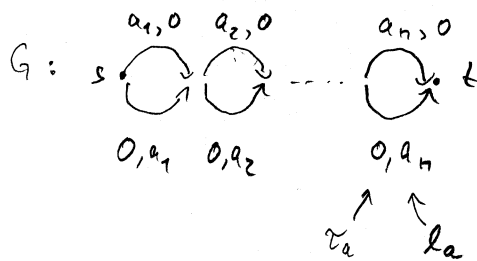
Beweis: Reduktion von PARTITION:

Geg. Zahlen  $a_1, \dots, a_n$  mit  $\sum a_i = 2b$

Frage: Gibt es Indexmenge  $I$  mit  $\sum_{i \in I} a_i = b$  ?

Sei  $I$  Instanz von PARTITION.

Konstruiere daraus Instanz  $I'$  von CSP:



Frage: Gibt es  $s, t$  Weg  $P$  mit  $\tau(P) \leq b$ ,  $\ell(P) \leq b$

Offenbar ist die Antwort auf diese Frage ja

$\Leftrightarrow \exists$  Indexmenge  $I$  mit  $\sum_{i \in I} a_i = b$   $\square$

4.2 PROPOSITION: CSP kann in pseudopolynomialer Zeit gelöst werden.

Beweis: analog zu SUBSET SUM (Verallgemeinerung von PARTITION)

anw ADH I  $\square$

## 4.2 Lösungsaussicht

- 1) Beasley & Christofides 89 Brand & Bound + Lagrange Relaxation
- 2) Labeling Algorithmus (erweitertes Dijkstra)  
Verwandtschaft zu Pareto-Optimalen Wegen
- 3) Geometrisch (Telekom + Ziegelmann 2000)  $\rightarrow$  § 4.4

4.2.1 Der Ansatz von Beasley & Christofides

Brand & Bound Baum  $\hat{=}$  wie bei Telekom Problem aus ADM II  
 $\hat{=}$  IP-Formulierung Festlegen von Kanten

Lagrange Relaxation:

$$\min \tau(P)$$

$$\text{so dass } l(P) \leq L$$

$P$  ist Weg von  $s$  nach  $t$

} in Ziel fkt

$$(LR_\mu) \quad \min \underbrace{\tau(P) + \mu(l(P) - L)}_{=: \Delta(\mu)}, \mu \in \mathbb{R}_+^1$$

$$\sum_{a \in P} (\tau_a + \mu l_a) - \underbrace{\mu L}_{\text{Konstant für festes } \mu}$$

Konstant für festes  $\mu$

$\uparrow$   
 Kürzester Weg bzgl. neuer Kantenbeurteilung  $\tau_a + \mu l_a$

Sei  $P^*$  opt. Lösung des CSP und  $\tau^* := \tau(P^*)$

Dann gilt (1)  $\Delta(\mu) \leq \tau^* \quad \forall \mu \geq 0$

$$(2) \Delta^* := \max_{\mu \geq 0} \Delta(\mu) \leq \tau^*$$

(3) Ist  $P$  eine Optimallösung von  $(LR_\mu)$  und  $l(P) \leq L$  }  $\Rightarrow P$  opt für CSPP

$\tau^* - \Delta^*$  heißt Dualitätslücke

Subgradientenverfahren analog zu ADMM II, § 7.4

Ist  $P_{\mu_0}$  kürzester Weg in  $(LR_{\mu_0})$ , so ist  $l(P_{\mu_0}) - L$  (verletzte Restr.) ein Subgradient in  $\mu_0$  von  $\Delta(\mu)$

Gehe Schritt in diese Richtung

$$\mu^{\text{neu}} = \mu^{\text{alt}} + \Theta (l(P_{\mu_0}) - L)$$

↓

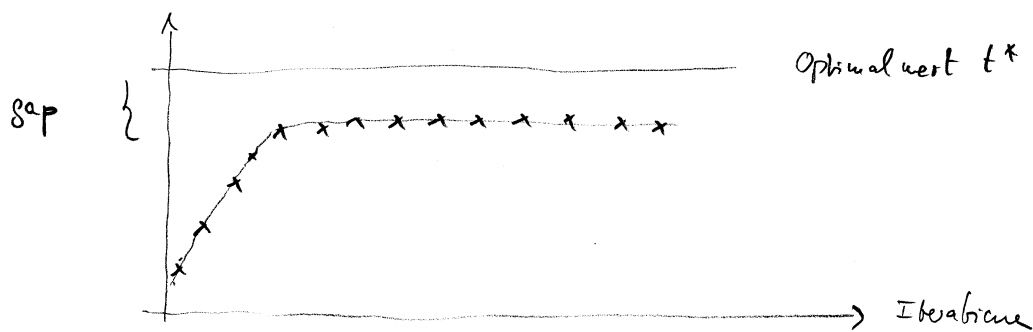
neue Kantenbewertung

$$\tau_a + \mu^{\text{neu}} l_a$$

Unterschiede in Kantenbewertung: gerade  $(\mu^{\text{neu}} - \mu^{\text{alt}}) l_a$

↑  
dieselbe Zahl für alle Kanten

typischer Verlauf



unbefriedigend

## 4.2.2 Pareto-optimale Wege

Ges.  $G = (V, A)$   $s, t \in V$ Für jede Kante  $a$  ein  $r$ -dim Bewertungsvektor  $\lambda(a) = \begin{pmatrix} \lambda_1(a) \\ \vdots \\ \lambda_r(a) \end{pmatrix} \geq 0$ Länge  $\lambda(P)$  eines Weges  $P$  ist

$$\lambda(P) = \sum_{a \in P} \lambda(a) = \begin{pmatrix} \sum_{a \in P} \lambda_1(a) \\ \vdots \\ \sum_{a \in P} \lambda_r(a) \end{pmatrix} =: \begin{pmatrix} \lambda_1(P) \\ \vdots \\ \lambda_r(P) \end{pmatrix}$$

↑  
hier unterschiedliche Operationen möglich

$\Sigma, \max, \min, \dots$

[allgemein: Semiringe]

Gesucht: alle Pareto-optimale  $s, t$  Wege

└─┬─┘  
P heißt Pareto-optimal

$\Leftrightarrow \nexists$  Weg  $P'$  mit  $\lambda(P') \leq \lambda(P)$  und  $\lambda_i(P') < \lambda_i(P)$  für ein  $i$

↑  
Komponentenweise Ordnung

(Keine Dominanz)

Anwendungen: Autoverkehr: Zeit, Entfernung, verbaute Strecken als Kosten  
 Bahn: Zeit, Kosten, # Umstiege

Der Dijkstra Algorithmus für Pareto-optimale Wege

unabhängig von: Dijkstra für kürzeste Wege ( $\lambda_a \geq 0$ )

- bedeutet für jeden Knoten  $v$  eine Distanz  $d[v]$

$\hat{=}$  Länge kürzester Weg von  $s$  zu  $v$

+ einen Knoten Vorgänger  $[v]$ , der Vorgänger von  $v$  auf kürzestem Weg von  $s$  zu  $v$  ist

- Werte  $d[v]$ , Vorgänger  $[v]$  sind unaltered verläufig

Im Lauf des Algorithmus werden Knoten markiert, für markierte Knoten sind diese Werte endgültig

Initialisierung:

$$d[v] := \begin{cases} 0 & v = s \\ \lambda(s,v) & \text{falls Kante } (s,v) \text{ exist.} \\ \infty & \text{sonst} \end{cases}$$

$$\text{Vorgänger}[v] := \begin{cases} s & \text{falls Kante } (s,v) \text{ exist} \\ \infty & \text{sonst} \end{cases}$$

zu  $s$  markiert

Hauptschleife

while  $\exists$  unmarkierten Knoten do

wähle unmarkierten Knoten  $v$  mit kleinstem  $d[v]$

markiere  $v$

for alle Kanten  $(v,w)$  mit unmarkiertem  $w$  do

if  $d[v] + \lambda_{(v,w)} < d[w]$  then

$d[w] := d[v] + \lambda_{(v,w)}$

$\text{Vorgänger}[w] := v$

end if

end for

end while

Variation des Dijkstras für Pareto-optimale Wege [Theorie 95]

statt  $d[v]$   $r$ -dim Vektoren  $d[v] = \begin{pmatrix} d_1[v] \\ \vdots \\ d_r[v] \end{pmatrix}$   $d_k[v]$  bzgl  $\lambda_k$

In jedem Knoten mehrere  $d[v]$  möglich,

$\Rightarrow$  bisher ermittelten Pareto-optimale  $s,v$ -Wege

Initialisierung

$$d[v] := \begin{cases} \begin{pmatrix} 0 \\ \vdots \\ 0 \end{pmatrix} & \text{falls } v = s \\ \lambda_{(s,v)} & \text{falls } (s,v) \text{ Kante} \\ \begin{pmatrix} \infty \\ \vdots \\ \infty \end{pmatrix} & \text{sonst} \end{cases}$$

Markierung Knoten  $\rightarrow$  Markierung von Vektoren  $d[v]$

Regel: Wähle lexikographisch kleinsten unmarkierten Vektor  $d[v]$  als nächsten zu markierenden Vektor



Aktualisierung des  $d[w]$ :

Betrachte zu gewähltem  $d[v]$  alle Kanten  $(v,w)$

nehme  $d[v] + \lambda_{(v,w)}$  zu dem bereits in  $w$

abgespeicherten Vektoren hinzu und schiebe nicht Pareto-optimale  
und aktualisiere ggf. Vorgänger( $d[v]$ )

Anfangs nur  $d[s]$  markiert

Hauptschleife

while  $\exists$  unmarkierten Vektor do

wähle lexikographisch kleinsten unmarkierten Vektor  $d[v]$

markiere diesen Vektor

sei  $v$  der zugehörige Knoten

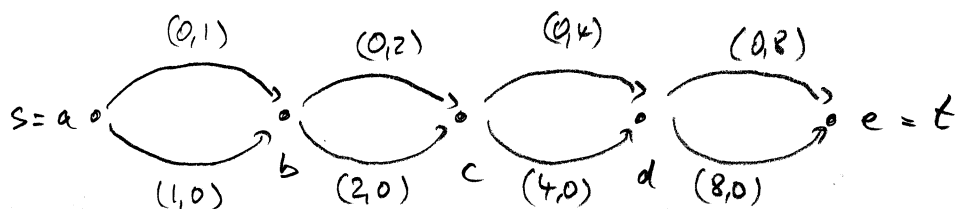
for alle Kanten  $(v,w)$  do

nehme  $d[w] := d[v] + \lambda_{(v,w)}$  den Vektoren von  $w$  hinzu;

schiebe nicht Pareto-optimale bei  $w$ ;

falls  $d[w]$  nicht geschrieben wird, so setze Vorgänger( $d[w]$ ) :=  $d[v]$

Beispiel:



Pareto Optima:

a	b	c	d	e
(0,0)	(0,1)	(0,3)	(0,7)	(0,15)
	(1,0)	(2,1)	(4,3)	(8,7)
		(1,2)	(1,6)	(1,14)
		(3,0)	(5,2)	(9,6)
			(2,5)	(2,13)
			(6,1)	(10,5)
			(3,4)	(3,12)
			(7,0)	(11,4)
				(4,11)
				(12,3)
				(5,10)
				(13,2)
				(6,9)
				(14,1)
				(7,8)
				(15,0)
$z^0$	$z^1$	$z^2$	$z^3$	$z^4$

exponentielles Wachstum  $\Rightarrow$  exponentielles Algorithmus

Korrektheit analog zu normalem Dijkstra per Induktion:

nach # Markierungen:

Sobald Vektor markiert, sieht es aus Menge der Pareto-Optima zum zugehörigen Knoten